

I-107 箱型構造物のまわりの流れに関する一実験

九州大学 応用力学研究所 正員 中村泰治
九州大学 応用力学研究所 正員 ○溝田武人

1. はじめに

断面比 $1:2$ を有する箱型構造物の耐風安定性を調べるために、まず、静止模型について 2α の三分力試験、模型周辺の流れの煙による観察、および熱線流速計による後流の速度変動の計測を行なったのでこれらの結果を報告する。

2. 風洞および模型

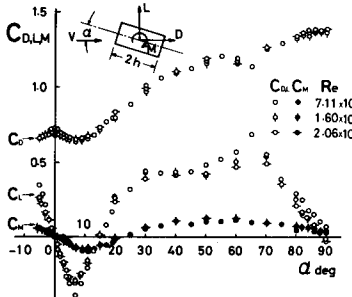
実験は九州大学応用力学研究所の台風災害実験用風洞装置（高さ×横×長さ $=2m \times 4m \times 6m$ ）を用い、模型は高さ×横×長さ $=27cm \times 15cm \times 30cm$ 木製三次元矩形柱であり、風洞床部と模型の間の空気の流入を遮けるため、模型下面に地面板として $56cm^2$ の円板を取り付けた。模型表面は艶消しカラースプレーを吹き付け平滑化した。

3. 実験結果

(3-1)三分力試験結果：静止模型に作用する空気力を、天秤を用いて測定した結果を第1図に示す。空力係数の定義は次式による。

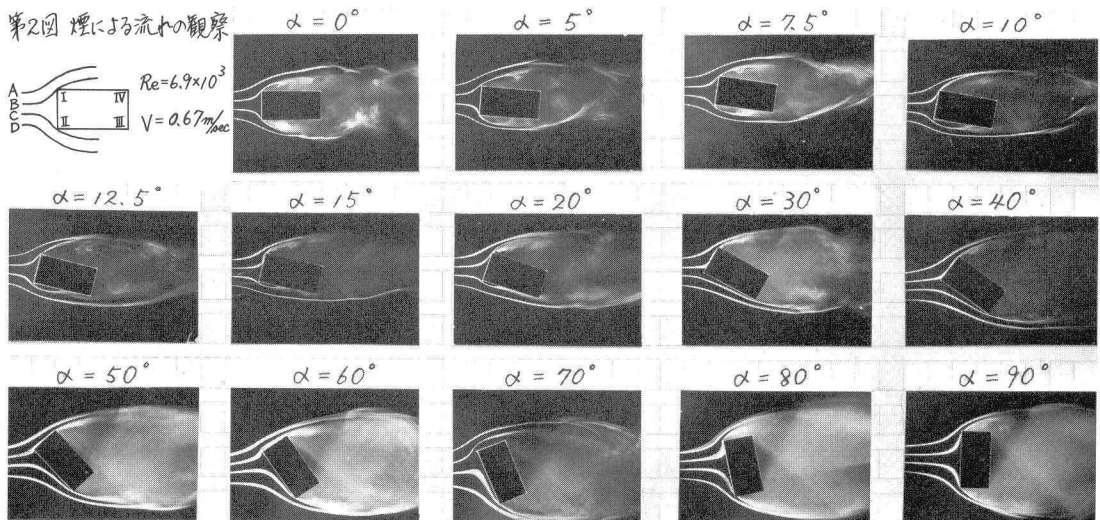
$$C_{DL} = \frac{D_L}{\frac{1}{2}PV^2(2h)L}, C_M = \frac{M}{\frac{1}{2}PV^2(2h)^2L}, \quad (M \text{は模型中心周り})$$
$$2h = 0.30m, \quad L = 0.77m$$

第1図によると、箱型構造物では剥離点が固定しないためか、実験の範囲で Re 数の著しい影響は見当らない。 C_D は、 $\alpha=0^\circ$ において $C_D \approx 0.7$ から減少し始め $\alpha \approx 25^\circ$ で最小値になる。その後、迎角の増加とともに单调に増加するが $\alpha \approx 60^\circ$ 付近でわずかに減少したのち再び増加し、 $\alpha=90^\circ$ では $C_D \approx 1.38$ になる。一方 C_L については $\alpha=0^\circ$ より迎角を増すとほぼ直線的に揚力は減少し（負の揚力傾斜）、 $\alpha \approx 25^\circ$ で最小値になり、以後正の揚力傾斜へと移行する。 $\alpha=30^\circ \sim 50^\circ$ の間では C_L は変化しない。 $\alpha=50^\circ \sim 60^\circ$ で C_L は再び増加し始めるが、 $\alpha \approx 65^\circ$ から再び負の揚力傾斜を持つ。 C_D の測定結果を他の二次元模型についての実験^{1), 2)}と比較すると、 $\alpha=0^\circ$ の場合はよく一致しているが、 $\alpha=90^\circ$ の模型については、我々の結果は、かなり低い値を示す。後者の場合は流れの三次元効果が大きいものと思われる。



第1図 空力三分力特性

(3-2)流れの観察：模型の周囲の流れを煙観察した結果を第2図に示す。煙は、流動パラフィンをBrenton-Sweeting Typeの煙発生器³⁾により霧化し、模型の前方約30cm、模型中央の高さに翼型(NACA 0021)を設置し、次の翼型に取り付けた4本のノズル($3mm^2$)から流して。なお翼型表面に発達した境界層は、剥離前に吸込穴から吸い込み、翼の後流を安定させた。流れ観察の場合、 $Re=6.9 \times 10^3$ である、平板の実験⁴⁾によれば $Re > 3 \times 10^3$ では C_D 、 S の Re 数による変化はなく一定であるので、我々の実験においても、煙観察における流れの様子は三分力特性測定時に対応すると考えよからう。



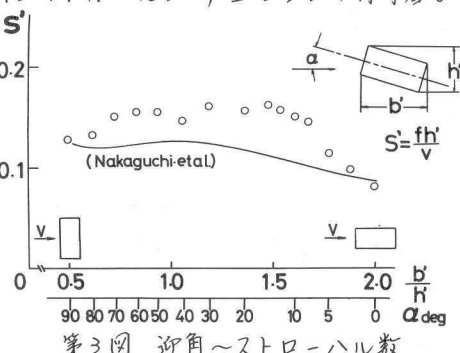
$\alpha=0^\circ$ では角I, IIで流れは剥離する。この剥離後、模型後方ににおいて規則的な渦列を形成することが観察された。 $\alpha=5^\circ$ では、角IIで剥離したこと示す流線Cは $\alpha=0^\circ$ のときと比較して模型側面により接近するが、未だ再付着はしていない。このことは、毛糸法による逆流域の観察からも推定された。この場合流線Cは大きい曲率をもつて角IIを曲る。従ってII-III面に大きな負圧を生じ、負の揚力を発生する。このことはすでに他実験^{5), 6)}により示されている。 $\alpha=7.5^\circ$ になると、流線Cは、角II付近で再付着する。更に $\alpha=10^\circ$ では、流線CはII-III面上で再付着しており、再付着点は、迎角の増大と共に角IIの方向へ移動する。以上の事柄は、毛糸法によつても確認されており、再付着点の後方には圧力が上昇する^{5), 6)}ので再付着点の角IIへの移動は、揚力傾斜の負から正への逆転をもたらすことになる。 $\alpha=30^\circ \sim 50^\circ$ においては、I-II面、II-III面で剥離しない。C_u曲線がこの間で平坦になつていることは、興味深い。更に $\alpha=60^\circ$ では流線Bが明らかなように、角IIで剥離が発生し、II-I面上で再付着している。このときC_D値は低下し、一方C_L値は増加する。

(3-3)ストローハル数の測定：模型後流に熱線プローブを置き、後流渦の周波数を調べた。風速は、5点(3, 4, 5, 6, 7 m/sec)に変化させ、渦周波数一風速グラフ(直線性は良好)の傾斜からストローハル数を求めて、第3図にその結果を示す。但し、流れに直角及び平行な投影長 a' , b' をとりこれらを基準にして結果を整理した。中口等の流れに平行に置かれた二次元模型の実験結果⁷⁾と比較すると、迎角0°, 90°の場合は良く一致するが、他の場合は一致しない。

4. 結語

迎角変化に伴う揚力特性、抗力特性の特徴的な変化は、流れの剥離、再付着と深い関連を持つ。

1) 中口他、航空厚会誌、16巻、168号(1968年1月); 2) 例えれば、Noel K. Delany, NACA, TN 3038(1953); 3) J.H. Preston, N.E. Sweeting, R.A.M. No. 2023(1943); 4) 高田、乱流実験シンポジウム(昭和44年); 5) G.V. Parkinson, Wind Effects on Buildings and Structures, Symposium(1963); 6) 伊藤・矢野、土木学会講演会(昭和45年)。



第3図 迎角～ストローハル数